

مکان یابی وقتی موبایل به روش آزمون باقی مانده

پرنا شبستری^۱ و محمد حسین کهائی^{۲*}

^۱ دانش آموخته کارشناسی ارشد دانشکده مهندسی برق - دانشگاه علم و صنعت ایران

^۲ دانشیار دانشکده مهندسی برق - دانشگاه علم و صنعت ایران

(/ /) (/ /)

تعیین دقیق موقعیت موبایل بوسیله ی سیگنال زمان دریافتی^۱ نبازی اساسی در مکان یابی موبایل در مخابرات سیمار سلولی است. در برخی از روش های قبلی اندازه گیری ها بر اساس دید غیر مستقیم^۲ بود که موجب افزایش خطا می شد. همچنین برای سادگی در اکثر شبیه سازی ها محیط های واقعی غیر ایستان^۳ را ایستان^۴ در نظر می گیرند. در این مقاله الگوریتم (آزمون باقیمانده + کمترین مربع بازگشتی)^۵ پیشنهاد می شود که کارایی خوبی در محیط غیر ایستان دارد که در آن با استفاده از الگوریتم آزمون باقی مانده^۶، از میان کل ایستگاه های پایه^۷ تعداد ایستگاه های دارای دید مستقیم^۸ مشخص و شناسایی می شوند. شبیه سازی ها نشان می دهند که در ۹۰٪ موارد الگوریتم تشخیص صحیحی از تعداد ایستگاه های دارای دید مستقیم دارد. سپس از سیگنال زمان دریافتی بدست آمده از این ایستگاه ها به عنوان ورودی الگوریتم کمترین مربع بازگشتی^۹ استفاده و مکان موبایل با دقت بالا و محاسبات کم به دست می آید.

Maximum Likelihood () + () :

دید غیر مستقیم صورت می گیرد. اما برای کاهش تأثیر ناشی از خط دید غیرمستقیم وزن دهی می کند. وزن ها از هندسه ی مکان یابی و طرز قرارگیری ایستگاه های پایه به دست می آید [۵] و [۶]. مزیت این روش در این است که حتی اگر تمام ایستگاه های پایه دارای خط دید غیر مستقیم باشند همیشه تخمینی از مکان موبایل داریم. مشکل این روش این است که جواب، دقت خوبی ندارد چون خطای ناشی از خط دید غیر مستقیم حتی اگر کم باشد نیز همیشه وجود دارد. روش سوم بر مبنای مشخص کردن ایستگاه های پایه ی دارای خط دید مستقیم از میان کل ایستگاه های پایه است که بعد از پیدا کردن آن ها با استفاده از آن ها به مکان یابی می پردازد.

الگوریتم آزمون باقی مانده در دسته ی سوم قرار می گیرد. در این الگوریتم پیدا کردن تعداد ایستگاه های پایه ی دارای خط دید مستقیم از میان کل ایستگاه های پایه و شناسایی آنها به طور همزمان انجام می شود. زمانی که اندازه گیری ها از ایستگاه های پایه ی دارای خط دید مستقیم باشند، Residual نرمالیزه شده توزیع Chi-Square مرکزی خواهد داشت. دقیقاً بر عکس اندازه گیری های خطوط دارای دید غیر مستقیم که توزیع مرکزی

در اکثر موارد با اندازه گیری زمان دریافتی، اختلاف زمان دریافتی، زاویه ی دریافتی، قدرت سیگنال و یا ترکیبی از آن ها می توان موقعیت موبایل را تعیین کرد. چنانچه اندازه گیری ها از خطوط دید غیر مستقیم به دست آمده باشند، میزان خطا بسیار بالا خواهد بود. در روش زمان دریافتی بیشتر از ۳ ایستگاه پایه زمان های دریافتی ارسالی از موبایل را اندازه گیری کرده و فاصله ی میان ایستگاه پایه و موقعیت موبایل از رابطه ی $\sigma_i = c \cdot TOA_i$ به دست می آید، که در این رابطه c سرعت نور می باشد. به مرکز ایستگاه های پایه و به شعاع σ_i دایره می زنیم. محل تقاطع دایره های به دست آمده نشان دهنده ی موقعیت موبایل است [۱].

به طور کلی سه روش برای مقابله با مشکل خط دید غیر مستقیم در مکان یابی موبایل وجود دارد. در روش اول ابتدا مشخصات انتشار کانال اندازه گیری می شود و سپس مکان موبایل از روی مدل تفرق به دست می آید [۲] و [۳] و [۴]. اشکال این روش در به دست آوردن مدل دقیق است. همچنین مدل با تغییر فصل و با ساختار ساختمان ها تغییر می یابد. در روش دوم، مکان یابی با استفاده از تمامی سیگنال های خط دید مستقیم و خط

ندارند. منظور از Residual مربع اختلاف میان تخمین ها و موقعیت واقعی موبایل است.

$$\psi_{\lambda}(n) = X(n).\Lambda(n).X^T(n) \quad (3)$$

$$u(n) = \psi_{\lambda}^{-1}(n-1).X(n) \quad (4)$$

$$k(n) = \frac{1}{\lambda + x^T(n)u(n)}u(n) \quad (5)$$

که در رابطه ی (۲) λ ، نشان دهنده ی حافظه ی سیستم می باشد و مقداری نزدیک به یک ولی کمتر از آن دارد. ۲- اعمال فیلتر

$$Y_{n-1}(n) = W^T(n-1).X(n) \quad (6)$$

۳- تخمین خطا

$$e_{n-1}(n) = d(n) - Y_{n-1}(n) \quad (7)$$

۴- محاسبه ی بردار $W(n)$

$$W(n) = W(n-1) + k(n).e_{n-1}(n) \quad (8)$$

۵- به روز رسانی Ψ_{λ}^{-1}

$$\Psi_{\lambda}^{-1}(n) = Tri \left\{ \lambda^{-1} \left(\Psi_{\lambda}^{-1}(n-1) - k(n)u^T(n) \right) \right\} \quad (9)$$

در رابطه ی (۹)، Tri علامت ماتریس بالامثلثی یا پایین مثلثی می باشد.

حال به منظور روشن شدن چگونگی عملکرد الگوریتم کمترین مربع بازگشتی به بیان ساختار مقادیر بیان شده در بالا می پردازیم.

در $X_{m \times 1}$ ، m نشان دهنده ی تعداد ایستگاه های پایه ی دارای خط دید مستقیم می باشد. X نیز مقادیر زمان های دریافتی مربوط به ایستگاه های پایه ی دارای خط دید مستقیم می باشد. در این مساله هدف، پیدا کردن موقعیت دوبعدی موبایل است در نتیجه $d(n)$ ، یک بردار دو مؤلفه ای، بیان کننده ی موقعیت طولی و عرضی موبایل است. که هر کدام به طور جداگانه محاسبه می شوند و در هر محاسبه $d(n)$ ، یک عدد اسکالراست. داده ی خروجی الگوریتم کمترین مربع بازگشتی نیز متناظر با $d(n)$ به صورت اسکالر می باشد، (Y) . بردار W به صورت $W_{m \times 1}$ است. بقیه ی ماتریس ها نیز به صورت $k_{m \times 1}$ ، $\Psi_{m \times m}$ و $u_{m \times 1}$ است و خطا (e) نیز به صورت اسکالر می باشد. باید توجه کرد که در روند محاسبات الگوریتم کمترین مربع بازگشتی، مؤلفه های طولی و عرضی موقعیت موبایل مستقل از هم می باشند.

مقادیر اولیه در $n=1$ ، $\Psi_{\lambda}(0) = \sigma I$ (که در آن I ماتریس مشخصه و σ عددی مثبت و بسیار کوچک است.)، $W(0) = 0$ و $d(1) = 0$ می باشند. بعد از به دست آوردن $Y_{n-1}(n)$ می توان با در نظر گرفتن $e_{n-1}(n)$ و

$$\left(\begin{array}{c} + \\ \end{array} \right)$$

این الگوریتم شامل دو بخش است. در ادامه آن ها را توضیح می دهیم.

تخمین گر کمترین مربع بازگشتی

فرض کنید که N ایستگاه پایه ی دارای خط دید مستقیم در مختصات (x_i, y_i) قرار داشته و $\sigma_i = c.TOA_i$ مقدار فاصله ی هر یک از آنها از موبایلی است که در محل $\theta = [x \ y]^T$ قرار دارد. آنگاه داریم،

$$\sigma_i = R_i + \varepsilon_i \quad (1)$$

که در آن R_i فاصله ی واقعی و ε_i متغیرهای تصادفی گوسی دارای توزیع مستقل و یکسان با متوسط صفر هستند که معرف نویز اندازه گیری می باشند.

در الگوریتم کمترین مربع بازگشتی که یک الگوریتم بازگشتی می باشد، پارامترهای خروجی با یک فرض اولیه محاسبه می شوند. در مساله ی مکان یابی با استفاده از الگوریتم کمترین مربع بازگشتی، دو پارامتر می بایست به طور همزمان بهینه شوند. بدین صورت که در ابتدا با فرض یک موقعیت برای موبایل الگوریتم کمترین مربع بازگشتی را حل می کنیم و خطای بین مکان محاسبه شده و مکان پیش فرض را به دست می آوریم. سپس با توجه به این خطا و موقعیت اولیه ی پیش فرض، موقعیت بعدی تخمین زده می شود و بار دیگر الگوریتم کمترین مربع بازگشتی محاسبه می شود.

الگوریتم کمترین مربع بازگشتی ویرایش دوم به صورت ذیل است :

مقادیر ورودی $W(n-1)$ ، $X(n)$ ، $d(n)$ و $\Psi_{\lambda}^{-1}(n-1)$ می باشند.

مقادیر خروجی $Y_{n-1}(n)$ ، $W(n)$ ، $\Psi_{\lambda}^{-1}(n)$ می باشند.

۱- محاسبه ی مقادیر ذیل،

$$\Lambda(n) = \begin{bmatrix} \lambda^{n-1} & 0 & 0 & \dots & 0 \\ 0 & \lambda^{n-2} & 0 & \dots & 0 \\ 0 & 0 & \lambda^{n-3} & \dots & 0 \\ \vdots & \vdots & \vdots & \ddots & \vdots \\ 0 & 0 & 0 & \dots & 1 \end{bmatrix} \quad (2)$$

با الگوریتم کمترین مربع بازگشتی، کل $\hat{\theta}(k)$ را که در آن $k=1,2, \dots, 99$ است، تخمین می زنیم. سپس الگوریتم آزمون باقی مانده مربع Residual های نرمالیزه شده را محاسبه می کند.

$$\chi_x^2(k) = \frac{[\hat{x}(k) - \hat{x}(99)]^2}{B_x(k)} \quad (13)$$

$$\chi_y^2(k) = \frac{[\hat{y}(k) - \hat{y}(99)]^2}{B_y(k)} \quad \text{و} \quad k=1,2, \dots, 98$$

تخمین مرجع، $\hat{\theta}(99)$ بوده که بهترین تخمین واقعی θ میان $\hat{\theta}(k)$ ها به شمار می آید زیرا در شرایطی است که همه ی ایستگاه های پایه دارای خط دید مستقیم باشند. همچنین $B_x(k)$ و $B_y(k)$ عناصر روی قطر اصلی ماتریس اطلاعات Fisher می باشند و در واقع تخمین باند پایین Cramer - Rao موقعیت موبایل هستند [۸].

حال چنانچه $D=7$ و $\hat{\theta}$ نیز تخمین کمترین مربع بازگشتی از θ باشد. آنگاه متغیرهای تصادفی

$$\frac{\hat{x}(k) - x}{\sqrt{B_x(k)}} \quad \text{و} \quad \frac{\hat{y}(k) - y}{\sqrt{B_y(k)}} \quad (14)$$

دارای تابع چگالی احتمال به صورت $N(0,1)$ می باشند و بنابراین متغیرهای تصادفی در رابطه ی (۱۳) دارای تابع چگالی احتمال به صورت توزیع Chi-Square مرکزی با یک درجه ی آزادی می باشند [۹]. اگر به هر طریق، بیش از یک δ_i به صورت خط دید غیر مستقیم باشند، $\hat{\theta}(99)$ و برخی از $\hat{\theta}(k)$ ها دارای بایاس خواهند بود و تابع چگالی احتمال متغیرهای تصادفی در رابطه ی (۱۳) دیگر به صورت Chi-Square مرکزی نخواهد بود.

به طور خلاصه مراحل اجرای الگوریتم آزمون باقیمانده برای $D=7$ به صورت زیر می باشد [۱۰].

۱- مقادیر $\sum_{i=3}^7 C_i$ و $\hat{\theta}(k)$ و $k=1,2, \dots, 99$ محاسبه می شوند.

۲- مقادیر $B_x(k)$ و $B_y(k)$ و سپس $\chi_x^2(k)$ و $\chi_y^2(k)$ در رابطه ی (۱۳) محاسبه می شوند.

۳- تعداد متغیرهای تصادفی (l) در رابطه ی (۱۳) که بزرگتر از $TH=2.71$ هستند، محاسبه می شوند.

۴- اگر $l \leq 20$ ، $D=7$ می باشد آنگاه $\hat{\theta}(99)$ جواب است در غیر این صورت با $D=6$ شروع به بررسی مجدد می کند. اگر جواب $D=6$ نبود الگوریتم آزمون باقیمانده

$Y_{n-1}(n)$ موقعیت پیش فرض در لحظه ی n را تعیین کرد. پیش بینی هوشمند موقعیت $d(n)$ بسیار حائز اهمیت است. به منظور تسریع در روند همگرا شدن جواب و کاهش خطای تخمین موقعیت ($e(n)$)، می بایست مقادیری برای $d(n)$ در نظر گرفت که تا حد امکان به جواب نزدیک باشند. در اینجا مهم، تعیین موقعیت $d(n)$ در اولین تکرار و تکرارهای بعدی می باشد. در اولین تکرار، مقدار $d(n)=0$ را در نظر می گیریم. در تکرارهای بعدی، مقدار بدست آمده در $Y_{n-1}(n)$ را در تکرار قبلی به عنوان $d(n)$ در تکرار بعدی در نظر می گیریم [۷]. به این صورت با تکرار الگوریتم عموماً به جواب نزدیک و نزدیک تر خواهیم شد و می توان اثبات کرد که در بی نهایت بار تکرار به جواب دقیق می رسیم.

کل الگوریتم را می توان به r بار تکرار محدود کرد. در نهایت تعداد r تا خطای تخمین ($\xi(n)$) داریم که مقادیر طول و عرض متناظر با کوچکترین $\xi(n)$ را به عنوان مکان موبایل در نظر می گیریم. به منظور محاسبه ی مقدار خطا در کل بازه ی زمانی $k=1,2, \dots, n$ می توان مقدار خطاها را به صورت رابطه ی (۱۰) با هم جمع کرد، که در آن $\rho_n(k)$ تابع وزن دهی می باشد و ضریب به یادآوری مقادیر گذشته است.

$$\xi(n) = \sum_{k=1}^n \rho_n(k) e_n^2(k) \quad (10)$$

$$\rho_n(k) = \lambda^{n-k}, \quad k=1,2, \dots, n \quad (11)$$

الگوریتم آزمون باقی مانده

فرض کنید N ایستگاه پایه موجود باشد که در آن برخی یا همه ی σ_i ها (مقدار فاصله ی ایستگاه های پایه از موبایل) دارای خط دید مستقیم باشند. حال مسأله بر سر تعیین تعداد ایستگاه های پایه ی دارای خط دید مستقیم (که با D نشان می دهیم)، است.

الگوریتم آزمون باقی مانده با فرض $D=N$ شروع به کار می کند. این الگوریتم ابتدا کل ترکیبات i تایی از N ایستگاه پایه را که در آن $i=3,4, \dots, N$ می باشد به صورت زیر محاسبه می کند.

$$\sum_{i=3}^N N C_i \quad (12)$$

فرض کنید $N=7$ باشد، آنگاه از رابطه ی (۱۲) ، ۹۹ ترکیب مختلف به دست می آید.

$$\delta_i = R_i + \varepsilon_i \quad (16)$$

که در آن ε_i متغیر تصادفی گوسی با متوسط صفر و واریانس σ^2 است و برای خط دید غیر مستقیم

$$\delta_i = R_i + \varepsilon_i + \alpha_i \quad (17)$$

که در آن α_i متغیر تصادفی به صورت گوسی و دارای تابع توزیع احتمال یکنواخت بین ۱۰۰ متر و ۱۳۰۰ متر می باشد. برای D و σ داده شده، ۱۰۰۰ نمونه‌ی مستقل وجود دارد. ایستگاه‌های پایه‌ی دارای خط دید مستقیم و خط دید غیر مستقیم به صورت رندم برای هر نمونه انتخاب می شوند. الگوریتم آزمون باقی‌مانده، \hat{D} را مشخص کرده و بر اساس آن تخمین می زند. پارامتر D بین ۳ تا ۷ و σ (جذر واریانس نویز محیط) از ۰/۰۵ تا ۱۸/۰۵ متر تغییر می کند. در این شبیه سازی ها که با استفاده از نرم افزار MATLAB انجام شده است، برای الگوریتم کمترین مربع بازگشتی، $\lambda = 0.9899$ در نظر گرفته شده است. همچنین بعد از ۱۰۰۰۰۰ بار تکرار، الگوریتم کمترین مربع بازگشتی همگرا شده و بعد از آن متوسط گیری روی ۱۰۰۰ نمونه انجام گرفته شده است.

در این شبیه‌سازی‌ها یک بار محیط را ایستان و بار دیگر غیر ایستان در نظر می‌گیریم. همانطور که می‌دانیم محیط ایستان محیطی است که در آن خصوصیات آماری فرآیند در زمان تغییر نکند و محیط غیر ایستان محیطی است که در آن خصوصیات آماری فرآیند متغیر با زمان باشد. در محیط غیر ایستان واریانس نویز محیط را متغیر با زمان در نظر می‌گیریم.

پارامتر σ ، (واریانس نویز محیط) در خطای گوسی محیط، اعمال شده در محاسبه‌ی زمان‌های دریافتی، تحت تاثیر پارامترهای بسیاری می باشد. در بسیاری موارد به منظور ساده سازی محاسبات، این مقدار را ثابت در نظر می‌گیرند که در نتیجه‌ی آن ساختار خط انتقال را ساختاری ایستان می‌گویند. در برخی از شبیه سازی ها نیز به منظور واقعی تر کردن محاسبات و در نظرگیری پارامترهای متغیر در خط انتقال، آن را متغیر در نظر می‌گیرند که این نوع ساختارها ساختاری غیر ایستان می باشد. تغییرات این پارامتر را می توان ناشی از تغییرات پارامترهای دخیل در معادلات خط انتقال و محاسبه‌ی زمان‌های دریافتی و ساختارهای ارسال و دریافت امواج همچون آنتن دانست. یکی از ساده ترین پارامترهایی که σ

را برای $D=5$ و $D=4$ تکرار می‌کنیم. در هر مرحله بعد از پیدا کردن تعداد ایستگاه‌های پایه‌ی دارای خط دید مستقیم نوبت به شناسایی آن‌ها می‌رسد. آن مجموعه‌ی را به عنوان مجموعه‌ی ایستگاه‌های پایه‌ی دارای خط دید مستقیم در نظر می‌گیریم که دارای کمترین مقدار متغیرهای تصادفی به دست آمده از رابطه‌ی (۱۳) باشد.

حال فرض کنید در الگوریتم آزمون باقیمانده، به $D=3$ رسیده ایم، قدم بعدی تشخیص ۳ ایستگاه پایه‌ی دارای خط دید مستقیم از میان ۷ ایستگاه پایه خواهد بود. به علت آنکه ۳ ایستگاه پایه نمی‌توانند مقدار مناسبی از متغیرهای تصادفی را ایجاد کنند، الگوریتم آزمون باقیمانده قابل اعتماد نیست و از الگوریتم دیگری به نام آزمون دلتا استفاده می‌کنیم. که در آن ابتدا دو ایستگاه پایه به عنوان مجموعه‌ی مرجع که دارای خط دید مستقیم هستند انتخاب شده (BS_1 و BS_2) و یک ایستگاه پایه را نیز به صورت خط دید غیر مستقیم، (BS_j) در نظر می‌گیریم.

با توسعه‌ی روابط فاصله‌ی ایستگاه‌های پایه‌ی دارای خط دید مستقیم و خط دید غیر مستقیم از موبایل، به رابطه‌ی (۱۵) می‌رسیم [۱۰].

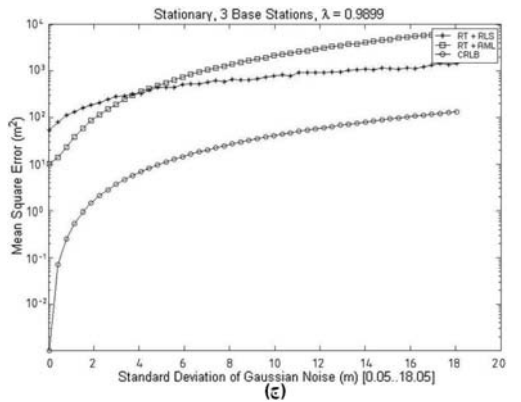
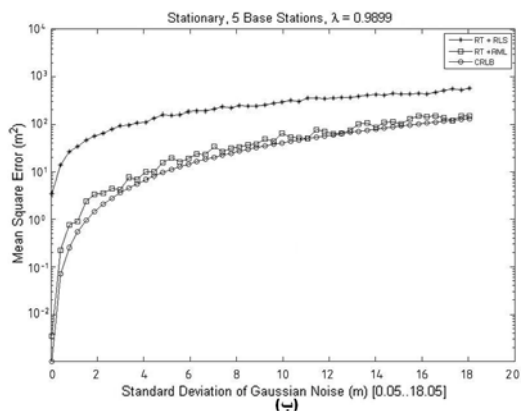
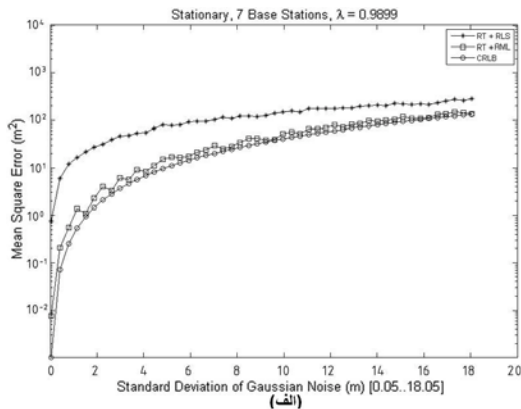
$$\Delta_j = 2R_j\alpha_j + 2\alpha_j\varepsilon_j + \alpha_j^2 \quad (15)$$

که در آن R_j ، فاصله‌ی واقعی ایستگاه پایه‌ی دارای خط دید غیر مستقیم از موبایل و α_j ، فاصله‌ی اضافی بوجود آمده از خط دید غیر مستقیم و ε_j ، نویز اندازه‌گیری سیستم است. مجموع $|\Delta_j|$ های حاصل از ۳ مجموعه‌ی ایجاد شده از ۳ ایستگاه پایه‌ی مشابه را بدست می‌آوریم. وقتی تمامی ۳ ایستگاه پایه، دارای خط دید مستقیم باشند آنگاه مجموع $|\Delta_j|$ های حاصل یک مقدار کوچک نزدیک به ۰ خواهند داشت و وقتی حداقل یکی از ۳ ایستگاه پایه، دارای خط دید غیر مستقیم باشد مقدار مجموع $|\Delta_j|$ ها مقداری غیر از ۰ دارد.

نتایج شبیه سازی ها

شکل (۱) محیط تجربی‌ای را که برای شبیه سازی در نظر گرفته شده نشان می‌دهد که در آن واحدها بر حسب متر هستند.

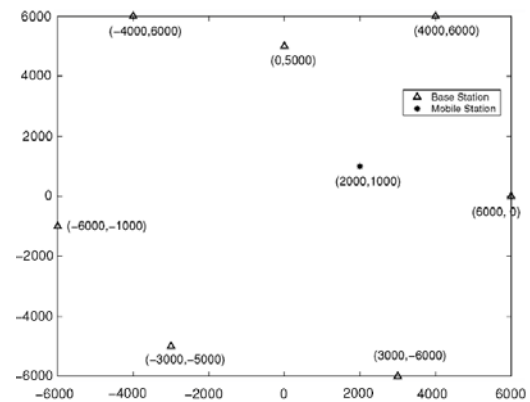
فاصله‌ی موبایل از ایستگاه پایه با دید مستقیم به صورت زیر است:



شکل ۲: متوسط مربع خطا برحسب σ در محیط ایستان (الف) برای $D = 7$ (ب) برای $D = 5$ (ج) برای $D = 3$.

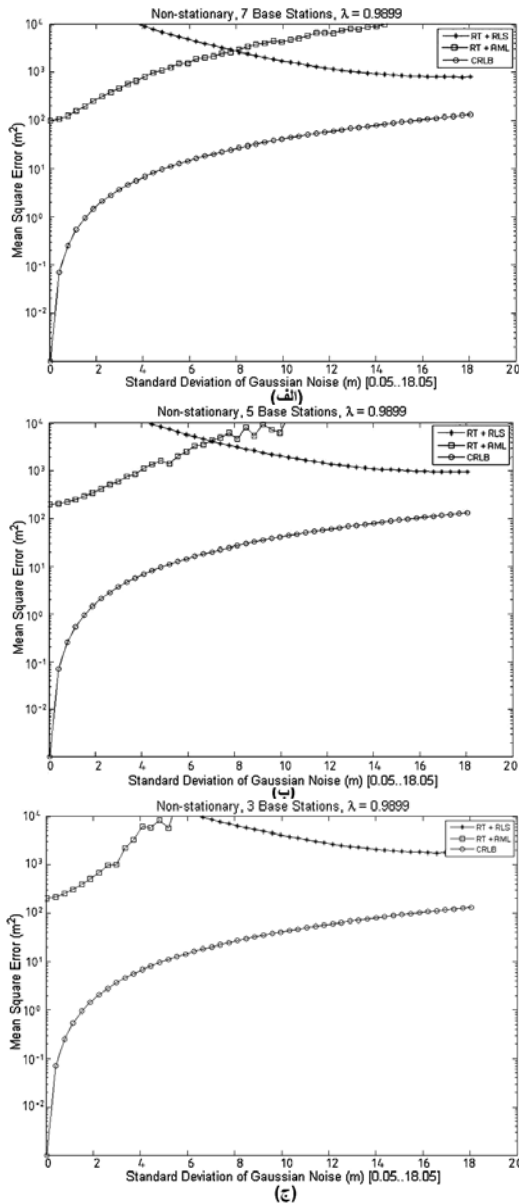
مربع خطای الگوریتم (آزمون باقیمانده + تقریب Maximum Likelihood) $3/89$ برابر کمتر از (آزمون باقی مانده + کمترین مربع بازگشتی) است. وقتی $D = 3$ و محیط ایستان باشد، همانگونه که در شکل ۲ (ج) مشاهده می کنیم، چون درصد خطای الگوریتم آزمون باقیمانده در پیدا کردن صحیح ایستگاه‌های پایه‌ی دارای خط دید مستقیم بالاتر است، در نتیجه متوسط مربع

را به شدت تحت تاثیر قرار می دهد، چگالی هوا (خط انتقال) می باشد. سرعت امواج مغناطیسی در هوای آزاد تقریباً برابر با سرعت نور در خلا می باشد. چگالی هوا متأثر از تغییرات دما و رطوبت تغییرات زیادی می کند که منجر به تغییر سرعت انتشار امواج مغناطیسی و نهایتاً تغییر مقدار زمان دریافتی به ازای یک مسافت ثابت می شود. تغییرات چگالی هوا باعث تغییرات پیوسته‌ی مقدار پارامتر σ می شود.



شکل ۱: محیط مورد استفاده شبیه سازی با ۷ ایستگاه پایه و ۱ موبایل.

در شکل (۲ - الف) در شرایطی که $D = 7$ و محیط ایستان است، متوسط مربع خطای ناشی از الگوریتم (آزمون باقی مانده + تقریب Maximum Likelihood) نزدیک به تخمین باند پایین Cramer - Rao است ولی مقداری بالاتر از آن قرار دارد. این نکته به این دلیل است که در بعضی موارد در الگوریتم آزمون باقی مانده، $\hat{D} < 7$ به دست آمده است، بنابراین باعث ایجاد متوسط مربع خطای بالاتری می شود. متوسط مربع خطای الگوریتم (آزمون باقیمانده + کمترین مربع بازگشتی) بیشتر از تخمین باند پایین Cramer - Rao بوده و در مجموع عملکرد ضعیف تری نسبت به الگوریتم بهینه‌ی (آزمون باقی مانده + تقریب Maximum Likelihood) دارد. در این شرایط متوسط مربع خطای الگوریتم (آزمون باقی مانده + تقریب Maximum Likelihood) $3/06$ برابر کمتر از الگوریتم (آزمون باقی مانده + کمترین مربع بازگشتی) است. در شکل (۲ - ب) تحت شرایط $D = 5$ و در محیط ایستان شبیه سازی‌ها انجام گرفته و نتایج حاصل مشابه حالت $D = 7$ است و در این شرایط به دلیل کاهش تعداد ایستگاه‌های پایه‌ی دارای خط دید مستقیم، متوسط



شکل ۳: متوسط مربع خطا برحسب σ در محیط غیرایستادن (الف) برای $D = 7$ (ب) برای $D = 5$ (ج) برای $D = 3$.

در شرایط غیر ایستادن مشاهده می‌کنیم که الگوریتم بهینه ی (آزمون باقی‌مانده + تقریب Maximum Likelihood) تغییرات محیط را نمی‌تواند به خوبی دنبال کند ولی الگوریتم (آزمون باقی‌مانده + کمترین مربع بازگشتی) چون یک الگوریتم وفقی است توانسته خود را به خوبی با تغییرات محیط وفق دهد و آن را دنبال کند. مشاهده می‌کنیم که در شکل (۳) با زیاد شدن σ ، متوسط مربع خطای الگوریتم های (آزمون باقی‌مانده + تقریب Maximum Likelihood) و تخمین باند پایین Cramer - Rao افزایش می‌یابد، ولی متوسط مربع

خطای الگوریتم های (آزمون باقی‌مانده + تقریب Maximum Likelihood) و (آزمون باقی‌مانده + کمترین مربع بازگشتی) نیز بسیار بالاتر از تخمین باند پایین Cramer - Rao خواهد بود و در این شرایط متوسط مربع خطای الگوریتم وفقی (آزمون باقی‌مانده + کمترین مربع بازگشتی)، $13/17$ برابر کمتر از الگوریتم (آزمون باقی‌مانده + تقریب Maximum Likelihood) است. نتایج برای $D = 4$ و $D = 6$ شبیه به موارد $D = 5$ و $D = 7$ است و به خاطر همین موضوع این موارد نشان داده نشده‌اند.

در شکل (۳ - الف) در شرایطی که $D = 7$ و محیط غیرایستادن است متوسط مربع خطای الگوریتم (آزمون باقی‌مانده + تقریب Maximum Likelihood) بیشتر از تخمین باند پایین Cramer - Rao بوده و در مجموع عملکرد ضعیف تری نسبت به الگوریتم وفقی (آزمون باقی‌مانده + کمترین مربع بازگشتی) دارد. در این شرایط متوسط مربع خطای الگوریتم (آزمون باقی‌مانده + کمترین مربع بازگشتی)، $22/16$ برابر کمتر از الگوریتم (آزمون باقی‌مانده + تقریب Maximum Likelihood) است. در شکل (۳ - ب) تحت شرایط $D = 5$ و در محیط غیر ایستادن شبیه سازی‌ها انجام گرفته و نتایج حاصل مشابه حالت $D = 7$ به دست آمده است و در این شرایط بدلیل کاهش تعداد ایستگاه های پایه ی دارای خط دید مستقیم، متوسط مربع خطای الگوریتم (آزمون باقی‌مانده + کمترین مربع بازگشتی)، $62/77$ برابر کمتر از (آزمون باقی‌مانده + تقریب Maximum Likelihood) است. وقتی $D = 3$ و محیط غیرایستادن باشد، همانگونه که در شکل (۳ - ج) مشاهده می‌کنیم، چون درصد خطای الگوریتم آزمون باقی‌مانده در پیدا کردن صحیح ایستگاه‌های پایه‌ی دارای خط دید مستقیم بالاتر است، در نتیجه متوسط مربع خطای الگوریتم های (آزمون باقی‌مانده + تقریب Maximum Likelihood) و (آزمون باقی‌مانده + کمترین مربع بازگشتی) نیز بسیار بالاتر از تخمین باند پایین Cramer - Rao خواهد بود و در این شرایط متوسط مربع خطای الگوریتم وفقی (آزمون باقی‌مانده + کمترین مربع بازگشتی) $3837/2$ برابر کمتر از الگوریتم (آزمون باقی‌مانده + تقریب Maximum Likelihood) است. نتایج برای $D = 4$ و $D = 6$ شبیه به موارد $D = 5$ و $D = 7$ است و به خاطر همین موضوع این موارد نشان داده نشده‌اند.

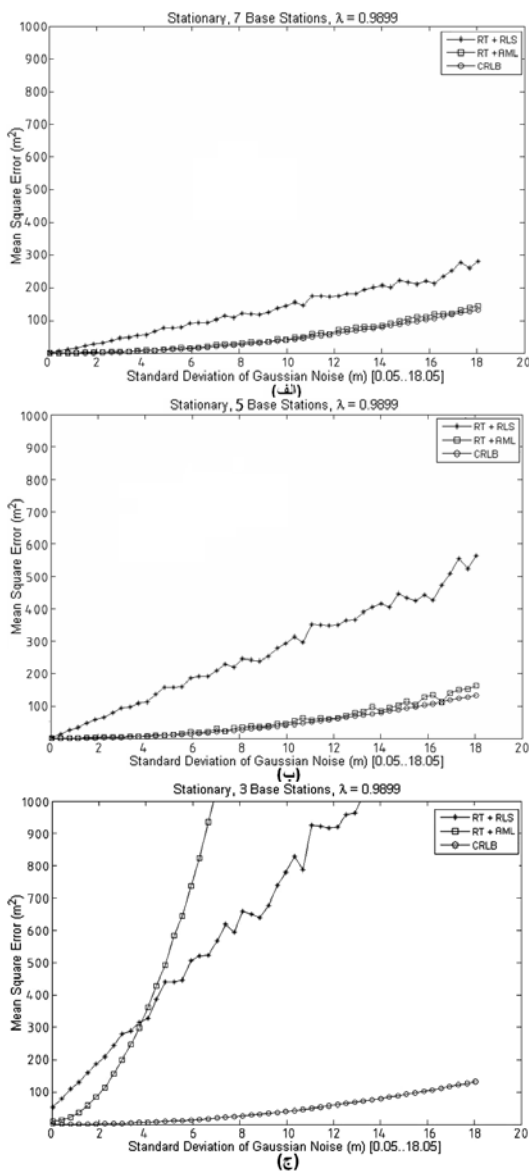
جدول ۱: مقایسه حجم محاسبات الگوریتم های تقریب Maximum Likelihood و کمترین مربع بازگشتی برای $D = 3$ و $D = 5$ و $D = 7$.

Arithmetic Operator	AML			RLS		
	$D = 7$	$D = 5$	$D = 3$	$D = 7$	$D = 5$	$D = 3$
+	256	404	244	386	146	34
-	646	465	279	2	2	2
×	854	624	374	608	264	80
/	115	83	49	2	2	2
$\sqrt{\quad}$	1	1	1	0	0	0

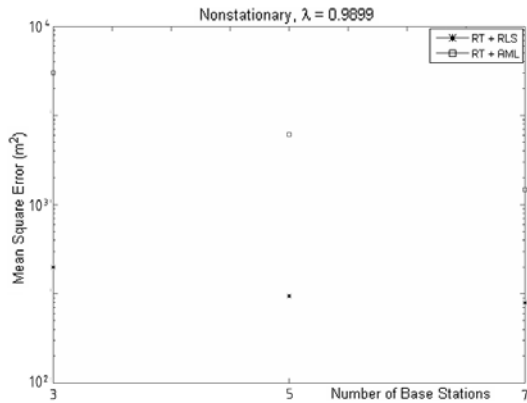
خطای الگوریتم (آزمون باقی مانده + کمترین مربع بازگشتی) کاهش می یابد زیرا در نقطه $\sigma = 0.05$ الگوریتم، یک بار و برای $\sigma = 18.05$ الگوریتم ۱۰۰۰۰ بار تکرار شده است و سپس متوسط گیری روی ۱۰۰۰ سری دیتا صورت گرفته است و همان طور که می دانیم در الگوریتم کمترین مربع بازگشتی با افزایش تعداد تکرارها، متوسط مربع خطا کاهش می یابد. در شکل های (۲) و (۳) محور متوسط مربع خطا، لگاریتمی و محور σ خطی است. مشاهده می کنیم که به همین علت با زیاد شدن σ ، تفاوت متوسط مربع خطای بین الگوریتم ها کاهش می یابد. برای جلوگیری از ایجاد خطا در این مورد، نمودارها را به صورت خطی نیز رسم کرده ایم که در ادامه آمده اند.

شکل های (۴) و (۵) متوسط مربع خطا بر حسب متر مربع (m^2) الگوریتم (آزمون باقی مانده + تقریب Maximum Likelihood) و الگوریتم (آزمون باقیمانده + کمترین مربع بازگشتی) (برای ۱۰۰۰ نمونه مستقل از هم) را بر حسب تابعی از نویز σ در محیط ایستاد و غیر ایستاد نشان داده اند. در این نمودارها محور متوسط مربع خطا، خطی و محور σ نیز خطی تغییر می کند. مشاهده می کنیم که با زیاد شدن σ ، تفاوت متوسط مربع خطای بین الگوریتم ها نیز افزایش می یابد.

در شکل های (۶) و (۷)، متوسط مربع خطا (بر حسب متر مربع) بر اساس تعداد ایستگاه های پایه ی دارای خط دید مستقیم در محیط ایستاد و غیر ایستاد برای الگوریتم های (آزمون باقی مانده + تقریب Maximum Likelihood) و (آزمون باقی مانده + کمترین مربع بازگشتی) رسم شده است. مشاهده می کنیم با افزایش تعداد ایستگاه های پایه خط دید مستقیم مقدار متوسط مربع خطا کاهش می یابد و در مورد مقایسه ی متوسط مربع خطای الگوریتم های (آزمون باقی مانده + تقریب Maximum Likelihood) و (آزمون باقیمانده + کمترین مربع بازگشتی) به همان نتایج بیان شده در شکل های (۲) و (۳) می رسیم. همچنین حجم محاسبات الگوریتم کمترین مربع بازگشتی همان طور که در جدول (۱) مشاهده می کنیم بسیار کمتر از الگوریتم تقریب Maximum Likelihood است و این موضوع مزیت دیگر الگوریتم پیشنهادی در این مقاله است.



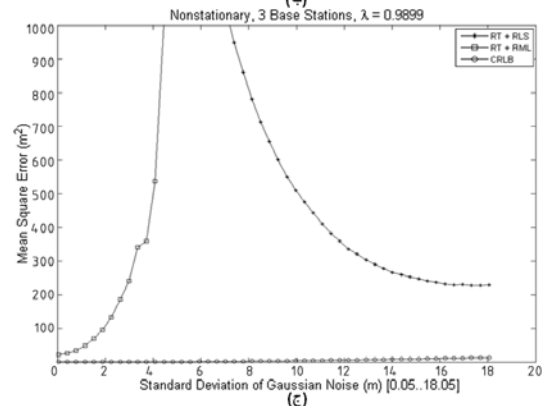
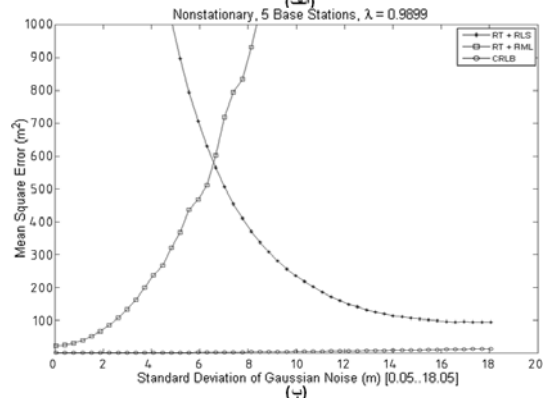
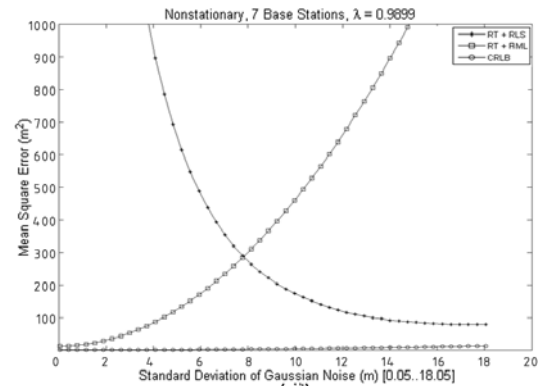
شکل ۴: متوسط مربع خطا بر حسب σ در محیط ایستاد (الف) برای $D = 7$ (ب) برای $D = 5$ (ج) برای $D = 3$.



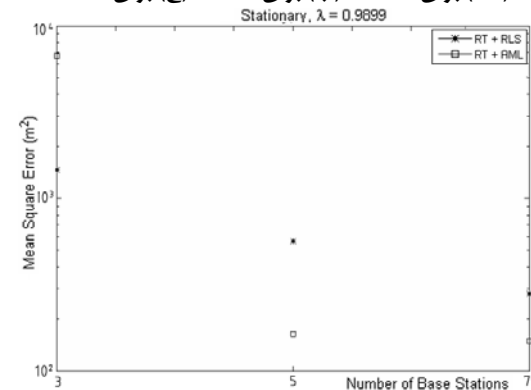
شکل ۷: متوسط مربع خطا برحسب تعداد ایستگاه های پایه دارای خط دید مستقیم در محیط غیرایستاد برای $D = 3$ و $D = 5$ ، $D = 7$.

در الگوریتم آزمون باقی مانده که یکی از الگوریتم های مکان یابی موبایل در شرایط خط دید غیر مستقیم است ابتدا تعداد ایستگاه های پایه ی دارای خط دید مستقیم از میان کل ایستگاه های پایه مشخص و شناسایی می شوند. سپس با استفاده از سیگنال های زمان دریافتی از این ایستگاه های پایه به عنوان ورودی الگوریتم تخمین مکان (در این مقاله الگوریتم کمترین مربع بازگشتی)، مکان موبایل تخمین زده می شود. چون محیط های واقعی که با آنها سروکار داریم محیط غیر ایستاد هستند در این مقاله پیشنهاد می شود که از الگوریتم وفقی کمترین مربع بازگشتی در محیط غیر ایستاد برای تخمین مکان موبایل استفاده شود. شبیه سازی ها نشان می دهد که در محیط غیر ایستاد متوسط مربع خطای تخمین مکان موبایل الگوریتم پیشنهادی (الگوریتم کمترین مربع بازگشتی) نسبت به الگوریتم تقریب Maximum Likelihood کاهش می یابد و همچنین حجم محاسبات الگوریتم پیشنهادی (الگوریتم کمترین مربع بازگشتی) کمتر از الگوریتم تقریب Maximum Likelihood است.

در اینجا از کمک های علمی و مالی مرکز تحقیقات مخابرات ایران کمال تشکر و قدردانی را داریم.



شکل ۵: متوسط مربع خطا برحسب σ در محیط غیرایستاد (الف) برای $D = 7$ (ب) برای $D = 5$ (ج) برای $D = 3$.



شکل ۶: متوسط مربع خطا برحسب تعداد ایستگاه های پایه دارای خط دید مستقیم در محیط ایستاد برای $D = 3$ و $D = 5$ ، $D = 7$.

-
- 1 - Wange, X., Wange, Z. and Odea B. (2003). "A TOA- based location algorithm reducing the error due to non-line-of-sight (NLOS) propagation." *IEEE Trans. Veh. Technol.*, Vol. 52, No. 1, PP. 112-116, Jan.
 - 2 – Ertel, R. B. and Reed, J. H. (1999). "Angle and time of arrival statistics for circular and elliptical scattering models." *IEEE J. Sel. Areas Commun.*, Vol. 17, No. 11, PP. 1829- 1840, Nov.
 - 3 - AI – Jazzar, S. and Caffery, Jr., J. (2002). "ML and bayesian TOA location estimators for NLOS environments." *In Proc. IEEE Vehicular Technology Conf.*, Vol. 2, PP. 1178 – 1181, Sep.
 - 4 - AI-Jazzar, S., Caffery, Jr., J. and You, H. R. (2002). "A scattering model based approach to NLOS mitigation in TOA location systems." *Proc. IEEE Vehicular Technology Conf.*, Vol. 2, PP. 861-865, May.
 - 5 - Venkatraman, S., Caffery, Jr., J. and You, H. R. (2002). "Location using LOS range estimation in NLOS environments," *In Proc. IEEE Vehiculare Technology Conf.*, Vol.2, PP. 856 – 860, May.
 - 6 – Khajehnouri, N. and Sayed, A. H. (2003). "A non – Line – of – Sight equalization Scheme for wireless cellulare location." *In Proc, ICASSP – 03*, Vol. 6, PP. 549– 552, Apr.
 - 7 - Borujeny, B. F. Adaptive Filters Theory & Applications.
 - 8 – Chan, Y. T. and Ho, K. C. (1994). "A simple and efficient estimator for hyperbolic location." *IEEE Trans. Signal. Process*, Vol. 42, No.8, PP. 1905 – 1915, Aug.
 - 9 - Papoulis, A. (1984). *Probability, Random Variables, and Stochastic Process*. New York : McGraw- Hill.
 - 10 - Chan, Y. T., Tsui, W. Y. and Cheung, H. (2006). "Timeof-arrival based localization under NLOS conditions." *IEEE Trans. Veh, Technol.*, Vol. 55, No. 1, PP. 17-24, Jan.
 - 11 - Chan, Y. T., Yau, C. H. and Ching, D. C. (2006). "Exact and approximate maximum Likelihood Localization algorithms." *IEEE Trans. Veh. Technol.*, Vol. 55, No. 1, PP. 10-16, Jan.

- 1 - Time of Arrival (TOA)
 - 2 - Non – Line – if – Sight (NLOS)
 - 3 - Stationary
 - 4 - Non Stationary
 - 5 - (Residual Test + Recursive Least Square) (RT + RLS)
 - 6 - Residual Test (RT)
 - 7 - Base Stations (BSs)
 - 8 - Line Of Sight (LOS)
 - 9 - Recursive Least Square (RLS)
-